

Ferroxplana/Rubber 복합형 전파흡수체의 제작 및 특성

Fabrications and Properties of Ferroxplana/Rubber Composite
for Electromagnetic wave Absorbers

박 상하*, 사공 건
동아대학교 전기공학과

S. H. Park*, G. Sa-Gong
Dept. of Electrical Engr., Dong-A Univ.

Abstract

In this paper, the permeability(μ_r' , μ_r''), permittivity(ϵ_r' , ϵ_r'') and absorption properties of Ferroxplana/Rubber composites were investigated. The composite specimens were prepared by molding and curing the mixtures of matrix rubber and Ni₂Y ferroxplana powders which were synthesized by coprecipitated method. The permeability(μ_r') of specimen was decreased in the range of 8~12.5(GHz) and the permeability(μ_r'') and permittivity(ϵ_r' , ϵ_r'') were increased. The optimum thickness of electromagnetic wave absorber(F/R=4, 1,200(°C)), utilizing the Smith chart, was about 3.0(mm). The Figure of Merit was 93(%).

1. 서 론

최근 전자 통신 기술의 발달과 전자 기기의 다양화로 전파 환경이 현저하게 악화되고 있다.¹⁻²⁾ 그러므로 전자파 공해에 대한 대책 중 하나는 전파흡수특성을 지닌 재료를 사용하여 불필요한 전파를 흡수, 열에너지로 변환시켜 반사파가 생성되지 않도록 하는 것이다.³⁻⁴⁾

따라서 전파흡수체의 기본 소재는 손실율이 큰 자성재료와 유전재료 그리고 카본, 금속 섬유와 같은 도전재료를 사용하는데 이들 재료 중에서 자성재료는 마이크로파 영역에서 우수한 전파흡수 특성을 나타내는 페라이트가 이용되고 있다. 특히 최근에는 보다 높은 초고주파대의 전파흡수체로 육방정 페라이트를 이

용하려는 연구가 제안되고 있으며 이중 Y형은 우수한 전파흡수특성을 나타내고 있다.^{1,5-6)}

상용 전파흡수체는 소결형과 자성 분말과 고분자 매질을 사용하여 제작한 복합형으로 분류하고 있으며, 그 특성은 주로 자성 분말의 특성에 의해 결정된다.¹⁾ 그리고 전파흡수체를 평가하는 인자는 정합주파수(f_m), 정합두께(d_m), 성능지수(F) 등이 있는데 이러한 인자는 전자기적 특성과 밀접한 관계가 있다.

따라서 본 연구에서는 Ferroxplana 분말과 실리콘 고무를 복합화하여 X-band영역에서 열처리 온도(1,000~1,200(°C))와 혼합비(F/R: Ferroxplana/Rubber)에 따른 복합형 전파흡수체를 제작하고, 그들의 재료정수(복소 투자율: μ_r^* , 복소 유전율: ϵ_r^*)의 주파수 분산 및 전파흡수특성을 연구하였다.

2. 시료 제작 및 측정

전파흡수체용 Ferroxplana Ni₂Y 분말은 공침법에 의해 제조하였으며,⁷⁾ 분말은 1,000, 1,100, 1,200(°C)에서 2시간 열처리한 다음 고무와 혼합하여 도우넛형 몰드(외경:7mm, 내경:3mm)에 넣고 복합형 전파흡수체 시편을 제조하였다. 이때 고무에 대한 Ferroxplana 분말의 혼합비(F/R)는 중량비로 2, 3, 4로 변화시켰다. 그리고 복합형 시편의 재료정수, 전파흡수능 및 정합두께는 Network Analyzer(HP8510B)와 co-axial type의 7(mm) air line을 사용하여 X-band인 8~12.5(GHz) 범위에서 반사계수(S₁₁, S₂₁)를 측정하여 계산하였다.

이때 반사감쇠량(reflection loss)은 아래 식 (1)에서 측정된 복소 투자율과 유전율의 값으로부터 계산

하며, 규격화 입력 임피던스 \bar{Z}_{in} 은 식(2)와 같다.^{3, 8)}

$$\text{Reflection loss[dB]} = 20 \log \left| \frac{\bar{Z}_{in} - 1}{\bar{Z}_{in} + 1} \right| \quad (1)$$

$$\bar{Z}_{in} = \sqrt{\frac{\mu_r^*}{\epsilon_r^*}} \tanh(j \frac{2\pi}{\lambda} \sqrt{\epsilon_r^* \cdot \mu_r^*} \cdot d) \quad (2)$$

여기에서 μ_r^* 은 복소 투자율, ϵ_r^* 은 복소 유전율, d 는 전파흡수체의 두께, λ 는 파장을 나타낸다.

한편 전파흡수 성능을 가늠하기 위한 척도로 성능지수(Figure of Merit) F는 다음과 같다.

$$F(\%) = \frac{\text{Band width}}{\text{Total Band width}} \times 100(\%) \quad (3)$$

여기서, 분모는 X-Band 전체 주파수 대역폭을 말하며, 분자는 허용하는 반사계수(10dB)가 차지하는 대역폭을 의미한다.

3. 측정 결과

그림 1은 복합형 전파흡수체 시편의 제조시 사용된 실리콘 고무의 재료정수(복소 투자율: μ_r^* , 복소 유전율: ϵ_r^*)의 X-Band(8~12.5GHz)에 있어서 주파수 의존성을 나타낸 것이다. 실리콘 고무는 X-Band에서 투자율의 실수부 $\mu_r' \approx 1$ 이고 허수부 $\mu_r'' \approx 0$ 이었으며, 유전율의 실수부 $\epsilon_r' \approx 2.6$, 허수부 $\epsilon_r'' \approx 0.04$ 의 일정한 값을 나타내었다.

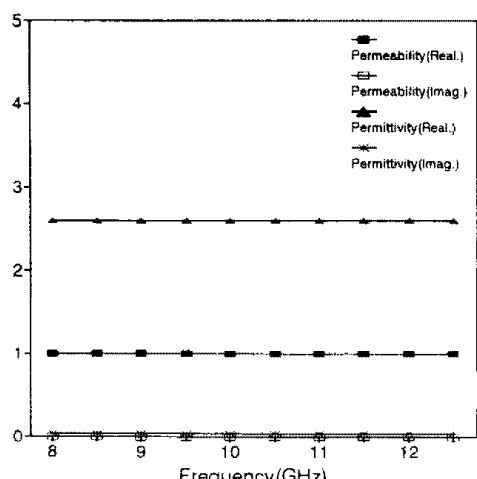


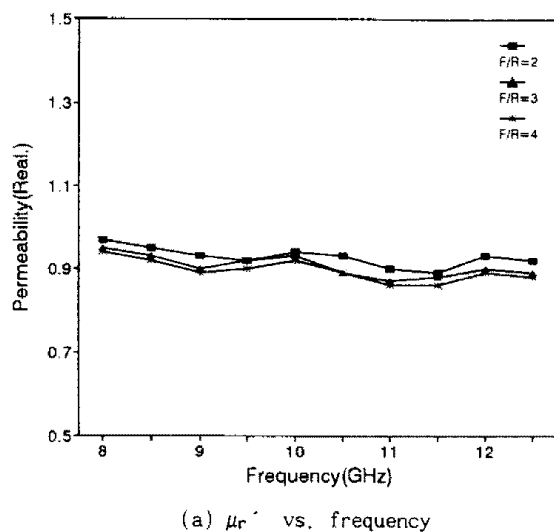
Fig. 1. The frequency dependence of material constants of silicone rubber

그림 2(a), (b), (c)는 Ferroplana/Rubber 복합형 흡수체에 있어서 Ferroplana 분말의 열처리 온도가 1,000(°C)일 때 혼합비(F/R)에 따른 재료정수(복소투자율 및 유전율)들의 주파수 분산특성을 나타낸 것이다.

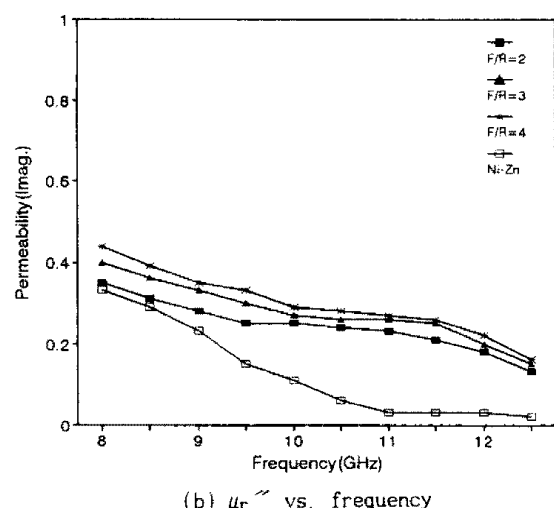
그림 2(a)는 투자율 실수항(μ_r')의 주파수 분산 특성을 나타낸 것으로 혼합비가 증가할수록 투자율은 감소하였다. 이는 공명주파수 이상에서는 투자율이 감소하기 때문이다. X-Band에서는 주파수에 따라서 거의 일정한 값을 나타내었다.

그림 2(b)는 투자율 허수항(μ_r'')의 주파수 분산 특성을 나타낸 것이다. 혼합비가 증가할수록 투자율의 허수항은 증가하였다. 이는 공명주파수 이상에서 투자율의 허수항이 증가하는 주파수 영역에 있기 때문이다. 또한 주파수가 증가할수록 투자율 허수항은 감소하는데 이는 자기 쌍극자가 초고주파(X-Band)의 교번전계에 따른 진동을 할 수 없기 때문으로 생각되며 동일한 주파수 영역에서의 스피넬계 페라이트의 급격한 감소와는 달리 완만한 감소를 나타내었다.

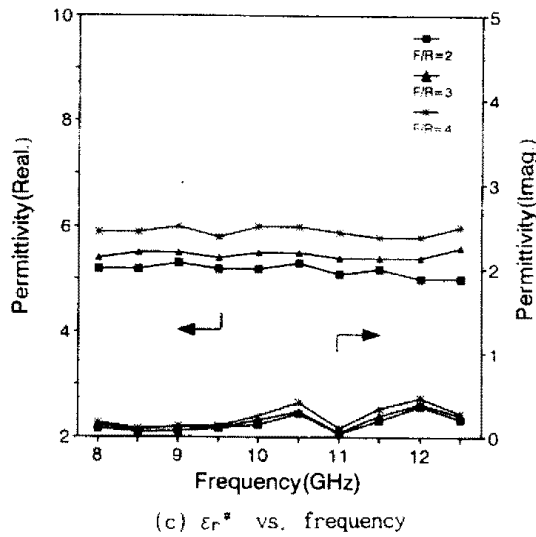
그림 2(c)는 유전율 실수항(ϵ_r') 및 허수항(ϵ_r'')의 주파수 분산 특성을 나타낸 것이다. 혼합비가 증가할수록 유전율은 실수항과 허수항 모두 증가하였다.



(a) μ_r' vs. frequency

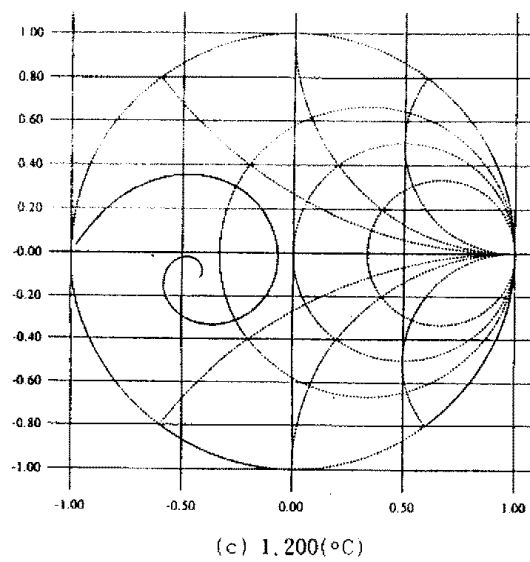


(b) μ_r'' vs. frequency



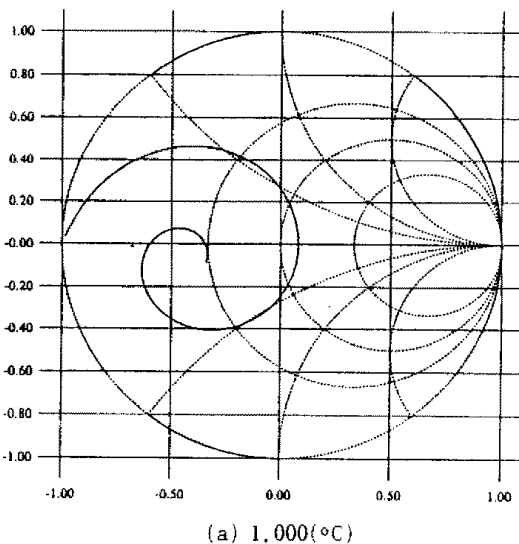
(c) ϵ_r^* vs. frequency

Fig. 2. Frequency dependence of Ni_2Y composites dependent on the F/R ratio

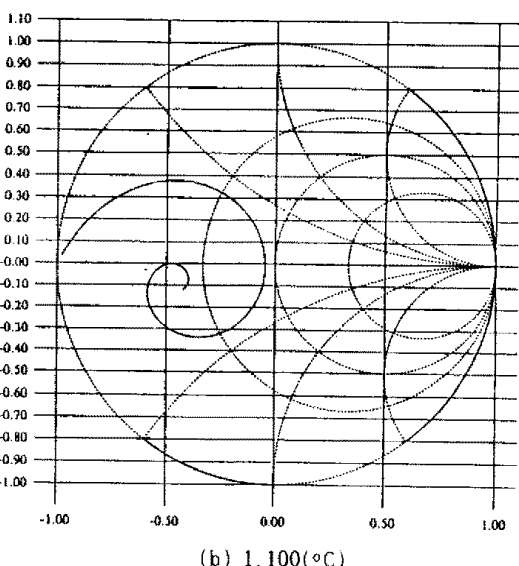


(c) 1,200($^{\circ}\text{C}$)

Fig. 3. Smith charts for optimum thickness ($\text{F}/\text{R}=4$) dependent on the calcine temperature.



(a) 1,000($^{\circ}\text{C}$)



(b) 1,100($^{\circ}\text{C}$)

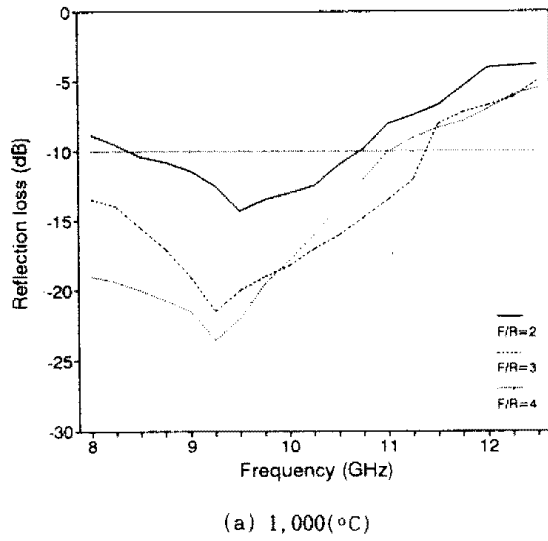
그림 3은 1,000, 1,100, 1,200($^{\circ}\text{C}$)에서 각각 열처리한 Ferroplana Ni_2Y 분말과 고무와의 혼합비 $\text{F}/\text{R}=4$ 인 경우에 있어서 정합두께(d_m)를 구하기 위한 Smith chart인데 복합형 흡수체의 반사감쇄량이 10(dB) 이상이 되기 위한 정합두께는 각 온도에서 각각 3.2, 3.2 및 3.0(mm)이었다.

그림 4는 1,000, 1,100, 1,200($^{\circ}\text{C}$)에서 각각 열처리한 복합형 흡수체의 혼합비에 대해 식 (1)에서 구한 반사감쇄량을 나타낸 것이다. 이때 정합주파수(f_m)는 9.44(GHz)이며 최대 반사감쇄량과 정합 두께를 표 1에 요약하였다.

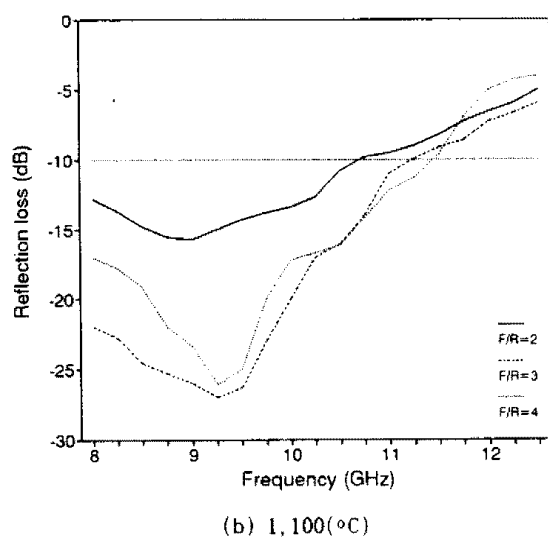
식 (3)에서 구한 성능지수 F 는 1,200($^{\circ}\text{C}$)에서 열처리한 $\text{F}/\text{R}=4$ 인 복합체가 93(%)로 가장 높게 나타났다.

Table.1. Maximum reflection loss values and optimum thickness in X-band of Ni_2Y composites dependent on the F/R ratio.

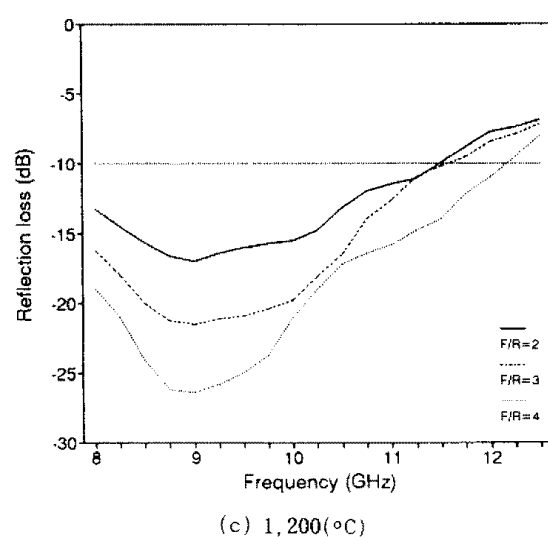
F/R	Temp.	(dB/mm)		
		1,000($^{\circ}\text{C}$)	1,100($^{\circ}\text{C}$)	1,200($^{\circ}\text{C}$)
2		14 / 7.1	14 / 3.5	16 / 3.2
3		20 / 3.3	27 / 3.3	20 / 3.2
4		22 / 3.2	27 / 3.2	23 / 3.0



(a) 1,000(°C)



(b) 1,100(°C)



(c) 1,200(°C)

4. 결론

Ferroxplana Ni₂Y 분말과 실리콘 고무로 제작한 복합형 전파흡수체의 특성을 요약하면 다음과 같다.

1. 1,000(°C)에서 열처리한 Ferroxplana 분말과 실리콘 고무를 복합화한 흡수체에 있어서 F/R의 비가 증가할수록 투자율의 실수향(μ_r')은 감소하나, 투자율의 허수향(μ_r'') 및 유전율(ϵ_r' , ϵ_r'')은 증가하였다.
2. 1,000, 1,100, 1,200(°C)에서 각각 열처리한 F/R=4인 경우의 복합체에 있어서 반사감쇄량이 10(dB) 이상이 되기 위한 청합 두께는 각각 3.2, 3.2 및 3.0 (mm)이었다.
3. X-band에서 복합형 전파 흡수체의 성능지수 F는 1,200(°C)에서 열처리한 F/R=4인 복합체가 93(%)로 가장 높게 나타났으며, 초고주파용 자성 분말로 Ferroxplana Ni₂Y가 사용될 수 있음을 알았다.

참고문헌

- 1) 内藤喜之, “電波吸收體”, オーム社, 東京, 1987.
- 2) 乾哲司, “電波吸收體”, エレクトニク・セラミクス, pp. 18~24 (1985).
- 3) 關江雄, “電波吸收體と電波暗室”, CMC, 1989.
- 4) Y. Narumiya et al., “Development of Magnetic Ferrite: Control and Application of Losses”, Ame. Cer. Bull., 66[10], pp.1469~1474 (1987).
- 5) M. B. Amin and J. R. James, “Techniques for utilization of Hexagonal Ferrite in Radar Absorbers”, Radio Elec. Eng., 51(5) pp.209~218 (1981).
- 6) 山本孝子, 菊地道男, 引地智, 大槻正太郎, “Y type ferroxplanaによる電波吸收體の開発”, Tokin Tech. Rev., 7 pp. 40~48 (1974).
- 7) 박상하, 김한근, 사공건, “Ferroxplana Y-type (Ni₂Y) 磁性 分체의 합성”, 대한전기학회 하계학술 대회 논문집, pp. 1140~1142 (1993).
- 8) 内藤喜之, 水本哲彌, “電波吸收體ゴムフエライトへのカボン添加效果”, 電子通信 學會論文誌, Vol. J69-C, No3, pp. 257~261 (1986).

Fig. 4. Absorption properties vs. frequency of Ni₂Y composites dependent on the F/R ratio